

การแก้ปัญหาการหาค่าอุปติมัมแบบมีเงื่อนไขด้วยเครือข่ายนิเวรอล

นางสาว ยุพาพร จารุศิริพจน์



ศูนย์วิทยพัชร์พยากร
จุฬาลงกรณ์มหาวิทยาลัย

วิทยานิพนธ์นี้เป็นส่วนหนึ่งของการศึกษาระดับปริญญาวิศวกรรมศาสตรมหาบัณฑิต

ภาควิชา วิศวกรรมไฟฟ้า


บัณฑิตวิทยาลัย จุฬาลงกรณ์มหาวิทยาลัย

ปีการศึกษา 2539

ISBN 974-635-263-6

ลิขสิทธิ์ของบัณฑิตวิทยาลัย จุฬาลงกรณ์มหาวิทยาลัย

SOLVING CONSTRAINED OPTIMIZATION PROBLEMS WITH NEURAL NETWORKS



MISS YUPAPORN JARUSIRIPHOT

ศูนย์วิทยทรัพยากร

จุฬาลงกรณ์มหาวิทยาลัย

A Thesis Submitted in Partial Fulfillment of the Requirements

for the Degree of Master of Engineering

Department of Electrical Engineering

Graduate School

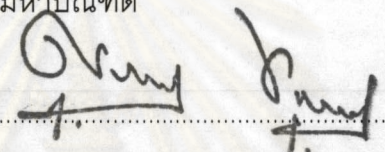
Chulalongkorn University

Academic Year 1996

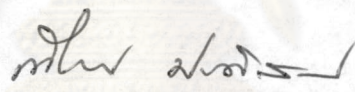
ISBN 974-635-263-6

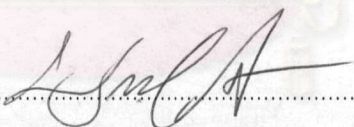
หัวข้อวิทยานิพนธ์ การแก้ปัญหาการหาค่าออปติ้มแบบมีเงื่อนไขด้วยเครือข่ายนิเวรอล
โดย นางสาว ยุพาพร จารุศิริพจน์
ภาควิชา วิศวกรรมไฟฟ้า
อาจารย์ที่ปรึกษา อาจารย์ ดร. บุญมี อย่างธรรา

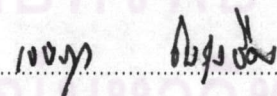
บัณฑิตวิทยาลัย จุฬาลงกรณ์มหาวิทยาลัย อนุมัติให้บัณฑิตวิทยาลัยรับนี้เป็น
ส่วนหนึ่งของการศึกษาระดับปริญญามหาบัณฑิต


.....คณบดีบัณฑิตวิทยาลัย
(ศาสตราจารย์ นายแพทย์ ศุภวัฒน์ ชูติวงศ์)

คณะกรรมการสอบวิทยานิพนธ์


.....ประธาน
(รองศาสตราจารย์ ดร. เทียนชัย ประดิษฐายน)


.....อาจารย์ที่ปรึกษา
(อาจารย์ ดร. บุญมี อย่างธรรา)


.....กรรมการ
(อาจารย์ ดร. เจษฎา ชินรุ่งเรือง)

พิมพ์ต้นฉบับบทคัดย่อวิทยานิพนธ์ภายในกรอบสี่เหลี่ยมนี้เพียงแผ่นเดียว

ยุพาพร จารุศิริพจน์ : การแก้ปัญหาค่าเหมาะที่สุดแบบมีเงื่อนไขด้วยเครือข่ายนิวรอล
(SOLVING CONSTRAINED OPTIMIZATION PROBLEMS WITH NEURAL NETWORKS)

อ. ที่ปรึกษา : อ. ดร. บุญมี อย่างธารา, 121 หน้า. ISBN 974-635-263-6.

วิทยานิพนธ์นี้ได้เสนอวิธีใหม่สำหรับใช้หาค่าเหมาะที่สุดแบบมีเงื่อนไข โดยใช้วิธีเพนัลตี ฟังก์ชันแปลงจากปัญหาค่าเหมาะที่สุดแบบมีเงื่อนไขให้เป็นปัญหาค่าเหมาะที่สุดแบบไม่มีเงื่อนไข จากนั้นแปลงปัญหาค่าเหมาะที่สุดแบบไม่มีเงื่อนไขให้เป็นปัญหาของการแก้สมการอนุพันธ์ของตัวแปรสเกลาร์ ซึ่งมีพหุคูณฟังก์ชันเป็นฟังก์ชันของคอนจูเกตเกรเดียน สามารถพิสูจน์ให้เห็นได้ว่าผลตอบของสมการอนุพันธ์ลู่เข้าหาค่าเหมาะที่สุดของปัญหาค่าเหมาะที่สุดแบบมีเงื่อนไขดั้งเดิม วิธีดังกล่าวมีข้อได้เปรียบเป็นอย่างมาก เพราะเมื่ออยู่ในรูปของสมการอนุพันธ์ เราสามารถใช้วิธีประมวลผลแบบขนานกันโดยใช้เครือข่ายนิวรอลสำหรับหาผลตอบของสมการอนุพันธ์ได้

จากผลของการคำนวณหาค่าเหมาะที่สุดด้วยคอมพิวเตอร์พบว่า วิธีที่นำเสนอมีความแม่นยำมากกว่าและใช้เวลาคำนวณน้อยกว่า เมื่อเทียบกับวิธีคล้ายกัน ซึ่งอยู่ในรูปของสมการอนุพันธ์ที่มีพหุคูณฟังก์ชันเป็นฟังก์ชันของสเต็ปเพสท์เดสเซนส์

ศูนย์วิทยทรัพยากร
จุฬาลงกรณ์มหาวิทยาลัย

ภาควิชา วิศวกรรมไฟฟ้า
สาขาวิชา วิศวกรรมคอมพิวเตอร์
ปีการศึกษา 2539

ลายมือชื่อนิติ อภินันท์ จารุศิริพจน์
ลายมือชื่ออาจารย์ที่ปรึกษา [ลายมือ]
ลายมือชื่ออาจารย์ที่ปรึกษาร่วม

C716083: MAJOR ELECTRICAL ENGINEERING

KEY WORD: OPTIMIZATION / PARALLEL PROCESSING / NEURAL NETWORKS
YUPAPORN JARUSIRIPHOT: SOLVING CONSTRAINED OPTIMIZATION
PROBLEMS WITH NEURAL NETWORKS. THESIS ADVISOR: BOONMEE
YANGTHARA, Ph.D. 121 pp. ISBN 974-635-263-6.

Instead of the conventional approaches, a new method for finding the extrema of a constrained optimization problem was proposed. Firstly, the problem was converted into an equivalent unconstrained problem, using the penalty function approach. And secondly, the penalty function was also further converted into an equivalent problem in the form of a set of ordinary differential equations with the forcing functions as functions of the conjugate gradients. Then, presented was a proof that the solutions of the set of the differential equations would converge to the extrema of the original constrained optimization problem. Casting the original optimization problem into a set of ordinary differential equations presented a great advantage in that it allowed parallel processing, via neural networks, in determining the solutions of the differential equations, thereby the extrema of the original optimization problem.

Digital simulations of the proposed method revealed that, in general, it resulted in more accurate results in a much shorter time when compared with a comparable method using the differential equations with the forcing as a function of the steepest descents.

ศูนย์วิทยทรัพยากร
จุฬาลงกรณ์มหาวิทยาลัย

ภาควิชา..... วิศวกรรมไฟฟ้า.....

สาขาวิชา..... ระบบควบคุม.....

ปีการศึกษา..... 2539.....

ลายมือชื่อนิสิต..... ๗๓๗๗..... อาริพรหม.....

ลายมือชื่ออาจารย์ที่ปรึกษา..... *[Signature]*.....

ลายมือชื่ออาจารย์ที่ปรึกษาร่วม.....



กิตติกรรมประกาศ

ขอกราบขอบพระคุณ อาจารย์ ดร. บุญมี อย่างธารา อาจารย์ที่ปรึกษาวิทยานิพนธ์ที่
ให้คำแนะนำอันเป็นประโยชน์ในการวิจัย จนสำเร็จลุล่วงตามวัตถุประสงค์

ขอกราบขอบพระคุณ คุณเจริญ และคุณสุวรรณี จารุศิริพจน์ บิดาและมารดาที่เป็น
กำลังใจ และสนับสนุนการเรียนตั้งแต่เริ่มต้นมาศึกษาจนกระทั่งศึกษาสำเร็จ

ขอขอบคุณ บมจ.โทเทิล แอ็คเซ็ส คอมมูนิเคชั่น และคุณคณิงเดช แซ่ดี ผู้จัดการ
อาวุโสที่ให้พนักงานมาเรียน และให้ความช่วยเหลือในการใช้อุปกรณ์ต่างๆในการทำวิทยานิพนธ์

นอกจากนี้ ขอขอบคุณเพื่อนๆนิสิตร่วมสาขาวิศวกรรมระบบควบคุม และสาขา
โทรคมนาคมที่เป็นกำลังใจ และช่วยเหลือในการเขียนวิทยานิพนธ์มาโดยตลอด

ศูนย์วิทยทรัพยากร
จุฬาลงกรณ์มหาวิทยาลัย

สารบัญ

	หน้า
บทคัดย่อภาษาไทย.....	ง
บทคัดย่อภาษาอังกฤษ	จ
กิตติกรรมประกาศ.....	ฉ
สารบัญตาราง	ญ
สารบัญรูป.....	ณ
สัญลักษณ์.....	ท
บทที่ 1. บทนำ.....	1
ความนำ	1
วัตถุประสงค์.....	5
ขอบเขตวิทยานิพนธ์	5
ความสำคัญและประโยชน์ที่ได้รับ	5
บทที่ 2. ทฤษฎีในการหาค่าออปติ้มโดยใช้เครือข่ายนิรอล.....	7
ความนำ	7
งานวิจัยของ Glasos , Hui และ Zak	7
อัลกอริทึมในงานวิจัยของ Glasos , Hui และ Zak.....	12
งานวิจัยในวิทยานิพนธ์นี้	13
การพิสูจน์การลู่เข้าหาค่าออปติ้มของวิธี Conjugate Gradient	22
อัลกอริทึมของงานวิจัยในวิทยานิพนธ์นี้	25
บทที่ 3. ตัวอย่างการหาค่าออปติ้มแบบมีเงื่อนไขเชิงเส้น.....	27
ความนำ	27
ตัวอย่างที่ (3.1) การหาค่าออปติ้มแบบมีเงื่อนไขเชิงเส้น.....	27
การหาค่าออปติ้มเมื่อค่า λ เท่ากับ 0.01, 0.05 และ 0.1 และ μ มีค่า ต่างๆ.....	29
การวิเคราะห์ผลของการหาค่าออปติ้มเมื่อค่า λ เท่ากับ 0.01, 0.05 และ 0.1 และ μ มีค่าต่างๆ.....	46

สารบัญ(ต่อ)

	หน้า
เส้นทางการสุ่มเข้าหาค่าอปติ้ม	47
การวิเคราะห์เส้นทางการสุ่มเข้าหาค่าอปติ้ม	50
สมรรถนะในการคำนวณหาค่าอปติ้ม	50
การวิเคราะห์สมรรถนะในการคำนวณหาค่าอปติ้ม	51
บทที่ 4. ตัวอย่างการหาค่าอปติ้มแบบมีเงื่อนไขไม่เชิงเส้น	52
ความนำ	52
ตัวอย่างที่ (4.1) การหาค่าอปติ้มแบบมีเงื่อนไขไม่เชิงเส้น	52
การหาค่าอปติ้มเมื่อค่า λ เท่ากับ 0.01, 0.05 และ 0.1 และ μ มีค่าต่างๆ	54
การวิเคราะห์ผลของการหาค่าอปติ้มเมื่อค่า λ เท่ากับ 0.01, 0.05 และ 0.1 และ μ มีค่าต่างๆ	71
เส้นทางการสุ่มเข้าหาค่าอปติ้ม	72
การวิเคราะห์เส้นทางการสุ่มเข้าหาค่าอปติ้ม	75
สมรรถนะในการคำนวณหาค่าอปติ้ม	75
การวิเคราะห์สมรรถนะในการคำนวณหาค่าอปติ้ม	76
ตัวอย่างที่ (4.2) การหาค่าอปติ้มแบบมีเงื่อนไขไม่เชิงเส้น	77
การหาค่าอปติ้มเมื่อค่า λ เท่ากับ 0.01, 0.05 และ 0.1 และ μ มีค่าต่างๆ	78
การวิเคราะห์ผลของการหาค่าอปติ้มเมื่อค่า λ เท่ากับ 0.01, 0.05 และ 0.1 และ μ มีค่าต่างๆ	95
เส้นทางการสุ่มเข้าหาค่าอปติ้ม	96
การวิเคราะห์เส้นทางการสุ่มเข้าหาค่าอปติ้ม	99
สมรรถนะในการคำนวณหาค่าอปติ้ม	99
การวิเคราะห์สมรรถนะในการคำนวณหาค่าอปติ้ม	100

สารบัญ(ต่อ)

	หน้า
บทที่ 5. สรุปและข้อเสนอแนะ	101
สรุป	101
ข้อเสนอแนะสำหรับงานวิจัยในวิทยานิพนธ์นี้	102
รายการอ้างอิง.....	103
ภาคผนวก ก. รูปแบบพื้นฐานของรูปแบบฮอปฟิลด์	105
ความนำ	105
รูปแบบพื้นฐานของรูปแบบฮอปฟิลด์.....	105
ภาคผนวก ข. การหาค่าออปติ้มัมแบบพื้นฐาน.....	112
ความนำ	112
การหาค่าออปติ้มัมแบบพื้นฐาน	112
Basic Gradient System ของเครือข่ายนิรอรล	113
ภาคผนวก ค. การหาค่าออปติ้มัมแบบมีเงื่อนไขด้วยเครือข่ายนิรอรล	115
ความนำ	115
การหาค่าออปติ้มัมแบบมีเงื่อนไขด้วยเครือข่ายนิรอรล	115
การพิสูจน์การลู่เข้าหาค่าออปติ้มัมของวิธี Steepest Descent	119
ประวัติผู้เขียน	121

ศูนย์วิทยทรัพยากร
จุฬาลงกรณ์มหาวิทยาลัย

สารบัญตาราง

หน้า

ตารางที่ 3.1	ผลการหาค่าจุดออปติ멈ในตัวอย่างที่ (3.1) เมื่อค่า λ หรือ $\frac{T}{\tau} = 0.01$ และ μ มีค่าต่างๆ โดยเปรียบเทียบระหว่างวิธี Steepest Descent และวิธี Conjugate Gradient.....	30
ตารางที่ 3.2	ผลการหาค่าจุดออปติ멈ในตัวอย่างที่ (3.1) เมื่อค่า λ หรือ $\frac{T}{\tau} = 0.01$ และ μ มีค่าต่างๆ โดยเปรียบเทียบระหว่างวิธี Steepest Descent และวิธี Conjugate Gradient.....	32
ตารางที่ 3.3	ผลการหาค่าจุดออปติ멈ในตัวอย่างที่ (3.1) เมื่อค่า λ หรือ $\frac{T}{\tau} = 0.05$ และ μ มีค่าต่างๆ โดยเปรียบเทียบระหว่างวิธี Steepest Descent และวิธี Conjugate Gradient.....	34
ตารางที่ 3.4	ผลการหาค่าจุดออปติ멈ในตัวอย่างที่ (3.1) เมื่อค่า λ หรือ $\frac{T}{\tau} = 0.05$ และ μ มีค่าต่างๆ โดยเปรียบเทียบระหว่างวิธี Steepest Descent และวิธี Conjugate Gradient.....	36
ตารางที่ 3.5	ผลการหาค่าจุดออปติ멈ในตัวอย่างที่ (3.1) เมื่อค่า λ หรือ $\frac{T}{\tau} = 0.1$ และ μ มีค่าต่างๆ โดยเปรียบเทียบระหว่างวิธี Steepest Descent และวิธี Conjugate Gradient.....	38
ตารางที่ 3.6	ผลการหาค่าจุดออปติ멈ในตัวอย่างที่ (3.1) เมื่อค่า λ หรือ $\frac{T}{\tau} = 0.1$ และ μ มีค่าต่างๆ โดยเปรียบเทียบระหว่างวิธี Steepest Descent และวิธี Conjugate Gradient.....	40
ตารางที่ 3.7	การเปรียบเทียบสมรรถนะระหว่างวิธี Steepest Descent และวิธี Conjugate Gradient ในตัวอย่างที่ (3.1)	51
ตารางที่ 4.1	ผลการหาค่าจุดออปติ멈ในตัวอย่างที่ (4.1) เมื่อค่า λ หรือ $\frac{T}{\tau} = 0.01$ และ μ มีค่าต่างๆ โดยเปรียบเทียบระหว่างวิธี Steepest Descent และวิธี Conjugate Gradient.....	55

สารบัญตาราง(ต่อ)

หน้า

ตารางที่ 4.2	ผลการหาค่าออปติ้มัมในตัวอย่างที่ (4.1) เมื่อค่า λ หรือ $\frac{T}{\tau} = 0.01$ และ μ มีค่าต่างๆ โดยเปรียบเทียบระหว่างวิธี Steepest Descent และวิธี Conjugate Gradient.....	57
ตารางที่ 4.3	ผลการหาค่าออปติ้มัมในตัวอย่างที่ (4.1) เมื่อค่า λ หรือ $\frac{T}{\tau} = 0.05$ และ μ มีค่าต่างๆ โดยเปรียบเทียบระหว่างวิธี Steepest Descent และวิธี Conjugate Gradient.....	59
ตารางที่ 4.4	ผลการหาค่าออปติ้มัมในตัวอย่างที่ (4.1) เมื่อค่า λ หรือ $\frac{T}{\tau} = 0.05$ และ μ มีค่าต่างๆ โดยเปรียบเทียบระหว่างวิธี Steepest Descent และวิธี Conjugate Gradient.....	61
ตารางที่ 4.5	ผลการหาค่าออปติ้มัมในตัวอย่างที่ (4.1) เมื่อค่า λ หรือ $\frac{T}{\tau} = 0.1$ และ μ มีค่าต่างๆ โดยเปรียบเทียบระหว่างวิธี Steepest Descent และวิธี Conjugate Gradient.....	63
ตารางที่ 4.6	ผลการหาค่าออปติ้มัมในตัวอย่างที่ (4.1) เมื่อค่า λ หรือ $\frac{T}{\tau} = 0.1$ และ μ มีค่าต่างๆ โดยเปรียบเทียบระหว่างวิธี Steepest Descent และวิธี Conjugate Gradient.....	65
ตารางที่ 4.7	การเปรียบเทียบสมรรถนะระหว่างวิธี Steepest Descent และวิธี Conjugate Gradient ในตัวอย่างที่ (4.1)	76
ตารางที่ 4.8	ผลการหาค่าออปติ้มัมในตัวอย่างที่ (4.2) เมื่อค่า λ หรือ $\frac{T}{\tau} = 0.01$ และ μ มีค่าต่างๆ โดยเปรียบเทียบระหว่างวิธี Steepest Descent และวิธี Conjugate Gradient.....	79
ตารางที่ 4.9	ผลการหาค่าออปติ้มัมในตัวอย่างที่ (4.2) เมื่อค่า λ หรือ $\frac{T}{\tau} = 0.01$ และ μ มีค่าต่างๆ โดยเปรียบเทียบระหว่างวิธี Steepest Descent และวิธี Conjugate Gradient.....	81

สารบัญตาราง(ต่อ)

หน้า

ตารางที่ 4.10	ผลการหาจุดออปติ้มัมในตัวอย่างที่ (4.2) เมื่อค่า λ หรือ $\frac{T}{\tau} = 0.05$ และ μ มีค่าต่างๆ โดยเปรียบเทียบระหว่างวิธี Steepest Descent และวิธี Conjugate Gradient.....	83
ตารางที่ 4.11	ผลการหาค่าออปติ้มัมในตัวอย่างที่ (4.2) เมื่อค่า λ หรือ $\frac{T}{\tau} = 0.05$ และ μ มีค่าต่างๆ โดยเปรียบเทียบระหว่างวิธี Steepest Descent และวิธี Conjugate Gradient.....	85
ตารางที่ 4.12	ผลการหาจุดออปติ้มัมในตัวอย่างที่ (4.2) เมื่อค่า λ หรือ $\frac{T}{\tau} = 0.1$ และ μ มีค่าต่างๆ โดยเปรียบเทียบระหว่างวิธี Steepest Descent และวิธี Conjugate Gradient.....	87
ตารางที่ 4.13	ผลการหาค่าออปติ้มัมในตัวอย่างที่ (4.2) เมื่อค่า λ หรือ $\frac{T}{\tau} = 0.1$ และ μ มีค่าต่างๆ โดยเปรียบเทียบระหว่างวิธี Steepest Descent และวิธี Conjugate Gradient.....	89
ตารางที่ 4.14	การเปรียบเทียบสมรรถนะระหว่างวิธี Steepest Descent และวิธี Conjugate Gradient ในตัวอย่างที่ (4.2)	100
ตารางที่ ก.1	การเปรียบเทียบข้อดีและข้อเสียของ Sigmoid activation function ที่นิยมใช้ทั่วไป	111

จุฬาลงกรณ์มหาวิทยาลัย

สารบัญรูป

	หน้า
รูปที่ 3.1	กราฟแสดงการเปรียบเทียบค่า Cost function เมื่อค่า λ เท่ากับ 0.01, 0.05 และ 0.1 และ μ มีค่าต่างๆของวิธี Steepest Descent ในตัวอย่างที่ (3.1) 43
รูปที่ 3.2	กราฟแสดงการเปรียบเทียบค่า Cost function เมื่อค่า λ เท่ากับ 0.01, 0.05 และ 0.1 และ μ มีค่าต่างๆของวิธี Conjugate Gradient ในตัวอย่างที่ (3.1) 43
รูปที่ 3.3	กราฟแสดงการเปรียบเทียบเปอร์เซ็นต์ความผิดพลาดของ Cost function เมื่อค่า λ เท่ากับ 0.01, 0.05 และ 0.1 และ μ มีค่าต่างๆของวิธี Steepest Descent ในตัวอย่างที่ (3.1) 44
รูปที่ 3.4	กราฟแสดงการเปรียบเทียบเปอร์เซ็นต์ความผิดพลาดของ Cost function เมื่อค่า λ เท่ากับ 0.01, 0.05 และ 0.1 และ μ มีค่าต่างๆของวิธี Conjugate Gradient ในตัวอย่างที่ (3.1) 44
รูปที่ 3.5	กราฟแสดงการเปรียบเทียบเวลาที่ใช้ในการคำนวณหาค่าออปติ้มัม เมื่อค่า λ เท่ากับ 0.01, 0.05 และ 0.1 และ μ มีค่าต่างๆของวิธี Steepest Descent ในตัวอย่างที่ (3.1) 45
รูปที่ 3.6	กราฟแสดงการเปรียบเทียบเวลาที่ใช้ในการคำนวณหาค่าออปติ้มัม เมื่อค่า λ เท่ากับ 0.01, 0.05 และ 0.1 และ μ มีค่าต่างๆของวิธี Conjugate Gradient ในตัวอย่างที่ (3.1) 45
รูปที่ 3.7	กราฟแสดงเส้นทางการลู่อเข้าหาค่าออปติ้มัมในตัวอย่างที่ (3.1) โดยวิธี Steepest Descent ที่ค่า $\mu = 0.8$ และค่า λ หรือ $\frac{T}{\tau} = 0.01$ 48
รูปที่ 3.8	กราฟแสดงเส้นทางการลู่อเข้าหาค่าออปติ้มัมในตัวอย่างที่ (3.1) โดยวิธี Conjugate Gradient ที่ค่า $\mu = 0.8$ และค่า λ หรือ $\frac{T}{\tau} = 0.01$ 48
รูปที่ 3.9	กราฟแสดงเส้นทางการลู่อเข้าหาค่าออปติ้มัมในตัวอย่างที่ (3.1) โดยวิธี Steepest Descent ที่ค่า $\mu = 0.8$ และค่า λ หรือ $\frac{T}{\tau} = 0.01$ 49
รูปที่ 3.10	กราฟแสดงเส้นทางการลู่อเข้าหาค่าออปติ้มัมในตัวอย่างที่ (3.1) โดยวิธี Conjugate Gradient ที่ค่า $\mu = 0.8$ และค่า λ หรือ $\frac{T}{\tau} = 0.01$ 49

สารบัญรูป(ต่อ)

		หน้า
รูปที่ 4.1	กราฟแสดงการเปรียบเทียบค่า Cost function เมื่อค่า λ เท่ากับ 0.01, 0.05 และ 0.1 และ μ มีค่าต่างๆของวิธี Steepest Descent ในตัวอย่างที่ (4.1)	68
รูปที่ 4.2	กราฟแสดงการเปรียบเทียบค่า Cost function เมื่อค่า λ เท่ากับ 0.01, 0.05 และ 0.1 และ μ มีค่าต่างๆของวิธี Conjugate Gradient ในตัวอย่างที่ (4.1)	68
รูปที่ 4.3	กราฟแสดงการเปรียบเทียบเปอร์เซ็นต์ความผิดพลาดของ Cost function เมื่อค่า λ เท่ากับ 0.01, 0.05 และ 0.1 และ μ มีค่าต่างๆของวิธี Steepest Descent ในตัวอย่างที่ (4.1)	69
รูปที่ 4.4	กราฟแสดงการเปรียบเทียบเปอร์เซ็นต์ความผิดพลาดของ Cost function เมื่อค่า λ เท่ากับ 0.01, 0.05 และ 0.1 และ μ มีค่าต่างๆของวิธี Conjugate Gradient ในตัวอย่างที่ (4.1)	69
รูปที่ 4.5	กราฟแสดงการเปรียบเทียบเวลาที่ใช้ในการคำนวณหาค่าออปติ้มัม เมื่อค่า λ เท่ากับ 0.01, 0.05 และ 0.1 และ μ มีค่าต่างๆของวิธี Steepest Descent ในตัวอย่างที่ (4.1)	70
รูปที่ 4.6	กราฟแสดงการเปรียบเทียบเวลาที่ใช้ในการคำนวณหาค่าออปติ้มัม เมื่อค่า λ เท่ากับ 0.01, 0.05 และ 0.1 และ μ มีค่าต่างๆของวิธี Conjugate Gradient ในตัวอย่างที่ (4.1)	70
รูปที่ 4.7	กราฟแสดงเส้นทางการลู่อเข้าหาค่าออปติ้มัมในตัวอย่างที่ (4.1) โดยวิธี Steepest Descent ที่ค่า $\mu = 0.8$ และค่า λ หรือ $\frac{T}{\tau} = 0.01$	73
รูปที่ 4.8	กราฟแสดงเส้นทางการลู่อเข้าหาค่าออปติ้มัมในตัวอย่างที่ (4.1) โดยวิธี Conjugate Gradient ที่ค่า $\mu = 0.8$ และค่า λ หรือ $\frac{T}{\tau} = 0.01$	73
รูปที่ 4.9	กราฟแสดงเส้นทางการลู่อเข้าหาค่าออปติ้มัมในตัวอย่างที่ (4.1) โดยวิธี Steepest Descent ที่ค่า $\mu = 0.8$ และค่า λ หรือ $\frac{T}{\tau} = 0.01$	74
รูปที่ 4.10	กราฟแสดงเส้นทางการลู่อเข้าหาค่าออปติ้มัมในตัวอย่างที่ (4.1) โดยวิธี Conjugate Gradient ที่ค่า $\mu = 0.8$ และค่า λ หรือ $\frac{T}{\tau} = 0.01$	74

สารบัญรูป(ต่อ)

หน้า

รูปที่ 4.11 กราฟแสดงการเปรียบเทียบค่า Cost function เมื่อค่า λ เท่ากับ 0.01, 0.05 และ 0.1 และ μ มีค่าต่างๆของวิธี Steepest Descent ในตัวอย่างที่ (4.2)92

รูปที่ 4.12 กราฟแสดงการเปรียบเทียบค่า Cost function เมื่อค่า λ เท่ากับ 0.01, 0.05 และ 0.1 และ μ มีค่าต่างๆของวิธี Conjugate Gradient ในตัวอย่างที่ (4.2)92

รูปที่ 4.13 กราฟแสดงการเปรียบเทียบเปอร์เซ็นต์ความผิดพลาดของ Cost function เมื่อค่า λ เท่ากับ 0.01, 0.05 และ 0.1 และ μ มีค่าต่างๆของวิธี Steepest Descent ในตัวอย่างที่ (4.2)93

รูปที่ 4.14 กราฟแสดงการเปรียบเทียบเปอร์เซ็นต์ความผิดพลาดของ Cost function เมื่อค่า λ เท่ากับ 0.01, 0.05 และ 0.1 และ μ มีค่าต่างๆของวิธี Conjugate Gradient ในตัวอย่างที่ (4.2)93

รูปที่ 4.15 กราฟแสดงการเปรียบเทียบเวลาที่ใช้ในการคำนวณหาค่าออปติ้ม เมื่อค่า λ เท่ากับ 0.01, 0.05 และ 0.1 และ μ มีค่าต่างๆของวิธี Steepest Descent ในตัวอย่างที่ (4.2)94

รูปที่ 4.16 กราฟแสดงการเปรียบเทียบเวลาที่ใช้ในการคำนวณหาค่าออปติ้ม เมื่อค่า λ เท่ากับ 0.01, 0.05 และ 0.1 และ μ มีค่าต่างๆของวิธี Conjugate Gradient ในตัวอย่างที่ (4.2)94

รูปที่ 4.17 กราฟแสดงเส้นทางการลู่อเข้าหาค่าออปติ้มในตัวอย่างที่ (4.2) โดยวิธี Steepest Descent ที่ค่า $\mu = 0.8$ และค่า λ หรือ $\frac{T}{\tau} = 0.01$ 97

รูปที่ 4.18 กราฟแสดงเส้นทางการลู่อเข้าหาค่าออปติ้มในตัวอย่างที่ (4.2) โดยวิธี Conjugate Gradient ที่ค่า $\mu = 0.8$ และค่า λ หรือ $\frac{T}{\tau} = 0.01$ 97

รูปที่ 4.19 กราฟแสดงเส้นทางการลู่อเข้าหาค่าออปติ้มในตัวอย่างที่ (4.2) โดยวิธี Steepest Descent ที่ค่า $\mu = 0.8$ และค่า λ หรือ $\frac{T}{\tau} = 0.01$ 98

รูปที่ 4.20 กราฟแสดงเส้นทางการลู่อเข้าหาค่าออปติ้มในตัวอย่างที่ (4.2) โดยวิธี Conjugate Gradient ที่ค่า $\mu = 0.8$ และค่า λ หรือ $\frac{T}{\tau} = 0.01$ 98

สารบัญรูป(ต่อ)

	หน้า
รูปที่ ก.1	วงจรไฟฟ้าของเซลล์นิวรอลแบบฮอปฟิลด์..... 106
รูปที่ ก.2	บล็อกไดอะแกรมของเซลล์นิวรอลแบบฮอปฟิลด์..... 106
รูปที่ ก.3	Sigmoid activation functions แบบต่างๆที่ใช้ในเครือข่ายนิวรอล..... 108
รูปที่ ก.4	เครือข่ายนิวรอลแบบฮอปฟิลด์..... 109
รูปที่ ก.5	โครงสร้างแบบง่ายของรูปแบบฮอปฟิลด์..... 109
รูปที่ ข.1	เครือข่ายนิวรอลแบบต่อเนื่องทางเวลา..... 114
รูปที่ ข.2	เครือข่ายนิวรอลแบบไม่ต่อเนื่องทางเวลา..... 114
รูปที่ ค.1	บล็อกไดอะแกรมจากสมการที่ (ค.6) และสมการที่ (ค.7)..... 117
รูปที่ ค.2	บล็อกไดอะแกรมจากสมการที่ (ค.8) และสมการที่ (ค.9)..... 118


 ศูนย์วิทยทรัพยากร
 จุฬาลงกรณ์มหาวิทยาลัย



สัญลักษณ์

$f(\mathbf{x})$	ฟังก์ชันการตัดสินใจหรือ cost function
$g_i(\mathbf{x})$	เงื่อนไขสมการที่ i หรือ $g_i(\mathbf{x}) \leq 0$, $i = 1, 2, \dots, m$
$\mathbf{g}(\mathbf{x})$	$\mathbf{g}(\mathbf{x}) = [g_1 \ g_2 \ \dots \ g_m]^T$
$J(\mathbf{x})$	$J(\mathbf{x}) = \{ i / g_i(\mathbf{x}) > 0, i = 1, 2, \dots, m \}$
Ω	$\Omega = \bigcap_{i=1}^m \{ \mathbf{x} / g_i(\mathbf{x}) \leq 0 \}$
$p(\mathbf{x})$	ฟังก์ชันที่ได้จากการใช้วิธี penalty function หรือ $p(\mathbf{x}) = H(\mathbf{g}(\mathbf{x})) f(\mathbf{x}) + \mu q(\mathbf{x})$
$q(\mathbf{x})$	$q(\mathbf{x}) = \sum_{i=1}^m [U(g_i(\mathbf{x})) g_i(\mathbf{x})]$ สำหรับ Absolute value
$H(.)$	Multidimensional step function คือ $H(\mathbf{g}(\mathbf{x})) = 1 \text{ เมื่อ } g_i(\mathbf{x}) \leq 0, i = 1, 2, \dots, m$ และ $H(\mathbf{g}(\mathbf{x})) = 0$ เมื่อ $g_1(\mathbf{x}) > 0$ หรือ $g_2(\mathbf{x}) > 0 \dots$ หรือ $g_m(\mathbf{x}) > 0$
$U(.)$	Unidimensional step function คือ $U(v) = 1 \text{ เมื่อ } v > 0$ และ $U(v) = 0$ เมื่อ $v \leq 0$
$\nabla p(\mathbf{x})$	$\nabla p(\mathbf{x}) \triangleq \left[\frac{\partial p(\mathbf{x})}{\partial x_1} \quad \frac{\partial p(\mathbf{x})}{\partial x_2} \quad \dots \quad \frac{\partial p(\mathbf{x})}{\partial x_n} \right]^T$
$\mathbf{s}_p(\mathbf{x}(k))$	เวกเตอร์ก้าวที่ k
$\mathbf{s}_g(\mathbf{x}(k))$	เวกเตอร์ก้าวที่ k เมื่อมีการละเมิดเงื่อนไข
$\mathbf{s}_f(\mathbf{x}(k))$	เวกเตอร์ก้าวที่ k เมื่อไม่มีการละเมิดเงื่อนไข
μ	penalty multiplier หรือ penalty parameter ที่มีค่าคงที่เป็นจำนวนจริงบวก
τ	พารามิเตอร์ที่มีค่าคงที่เป็นจำนวนจริงบวก
T	$T = t_{k+1} - t_k$, $k=0, 1, 2, \dots$ มีค่าคงที่เป็นจำนวนจริงบวก
λ หรือ $\frac{T}{\tau}$	พารามิเตอร์ที่มีค่าคงที่เป็นจำนวนจริงบวก
$\ \mathbf{x}\ _p$	$\ \mathbf{x}\ _p = \left(\sum_{i=1}^n x_i ^p \right)^{1/p}$
$\ \mathbf{x}\ $ หรือ $\ \mathbf{x}\ _2$	$\ \mathbf{x}\ _2 = (\mathbf{x}^T \mathbf{x})^{1/2} = \left(\sum_{i=1}^n x_i^2 \right)^{1/2}$

สัญลักษณ์(ต่อ)

α_j	พารามิเตอร์ที่มีค่าคงที่เป็นจำนวนจริง
β	พารามิเตอร์ของวิธี Conjugate Gradient
ϵ	ดรรชนีความแม่นยำที่มีค่าคงที่เป็นจำนวนจริงบวกค่าน้อยๆ
η	พารามิเตอร์
\mathbf{x}^*	จุดออปติ멈หรือ $\mathbf{x}^* = [x_1^* \ x_2^* \ \dots \ x_n^*]^T$
\mathcal{R}^n	space ของจำนวนจริง n มิติ
c_j	ตัวความจุไฟฟ้าของนิวรอลตัวที่ j
R_{ji}	ตัวความต้านทานไฟฟ้าระหว่างนิวรอลตัวที่ i กับ j
v_j	แรงดันไฟฟ้าของนิวรอลตัวที่ j
I_j	bias current ของนิวรอลตัวที่ j
Ψ	Sigmoid activation function
w_{ji}	ค่าน้ำหนัก (Weight) ระหว่างนิวรอลตัวที่ i กับ j
u_j	แรงดันไฟฟ้าเข้าของนิวรอลตัวที่ j
x_j	แรงดันไฟฟ้าออกของนิวรอลตัวที่ j
G_{ji}	conductance จากนิวรอลตัวที่ i ไปยังนิวรอลตัวที่ j
Θ_j	สัญญาณภายนอกอิสระ (Independent external signal)
ρ	พารามิเตอร์
γ_j	พารามิเตอร์ของนิวรอลตัวที่ j
$\tilde{g}_i(\mathbf{x})$	$\tilde{g}_i(\mathbf{x}) = \frac{1}{2}(\min\{0, -g_i(\mathbf{x})\})^2 := \frac{1}{2}([-g_i(\mathbf{x})]_-)^2$